

図1 ホルムアルデヒド、あるいはトルエンの6週間曝露による体重、臓器重量の変化

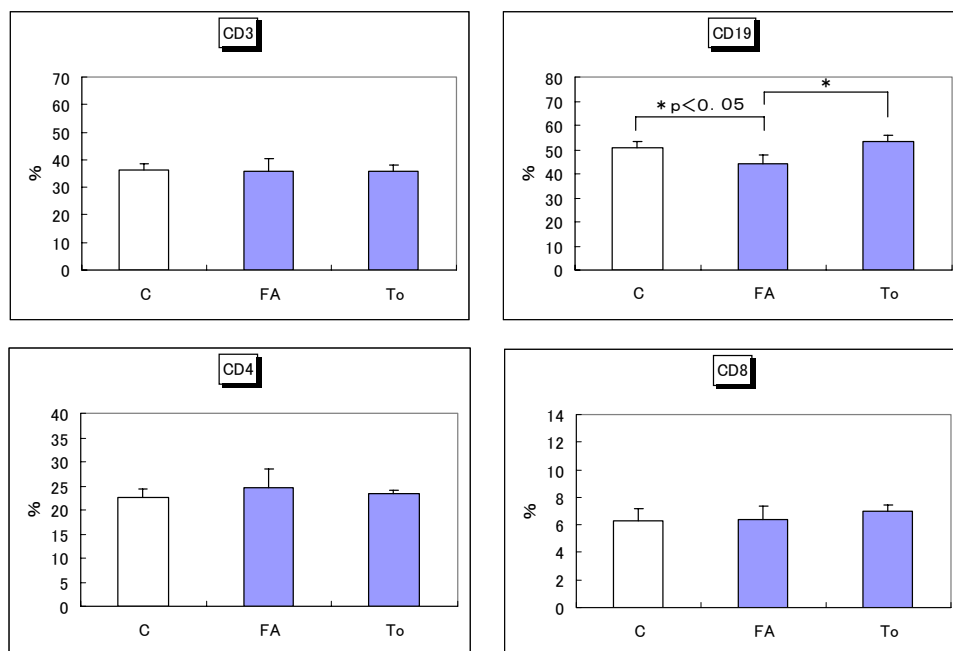


図2 ホルムアルデヒド、あるいはトルエンを6週間曝露したマウスの脾細胞 FACS 解析結果

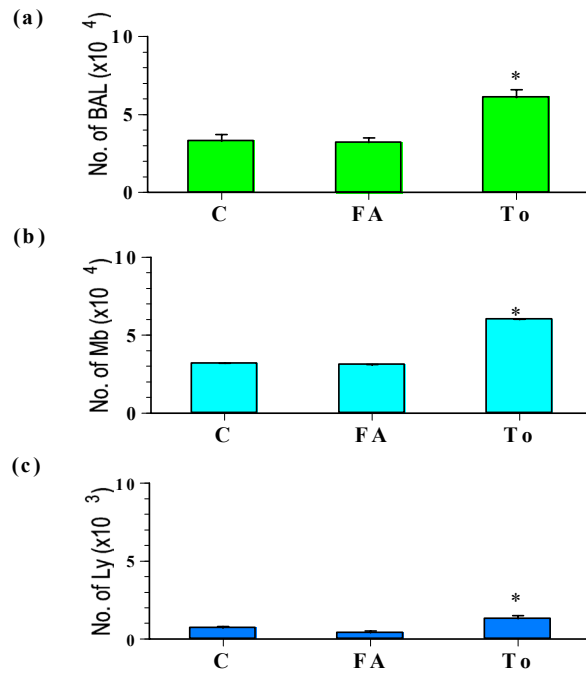


図3 ホルムアルデヒド、あるいはトルエンを6週間曝露したマウス肺胞洗浄液中の炎症性細胞数の変動 (a) No. of BAL( $\times 10^4$ ), (b) No. of M $\phi$ , (c) No. of Lymph

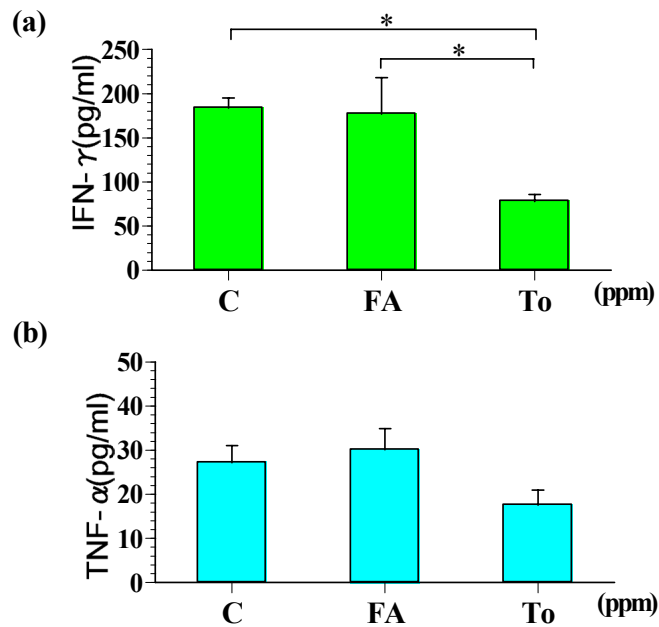


図4 ホルムアルデヒド、あるいはトルエン曝露したマウス肺胞洗浄液中のサイトカイン産生 (a) IFN- $\gamma$ , (b) TNF- $\alpha$

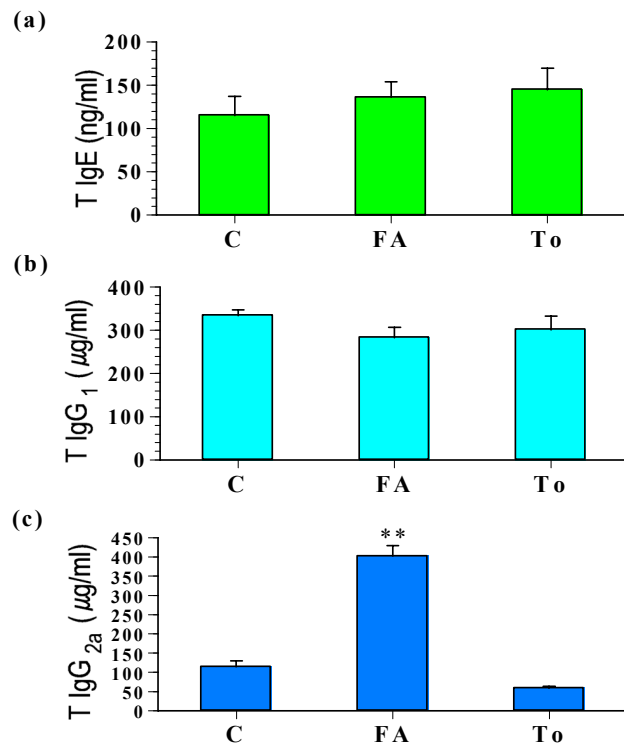


図5 ホルムアルデヒド、あるいはトルエンを6週間曝露したマウスの血漿中の抗体価  
(a) Total IgE, (b) Total IgG1, (c) Total IgG2a

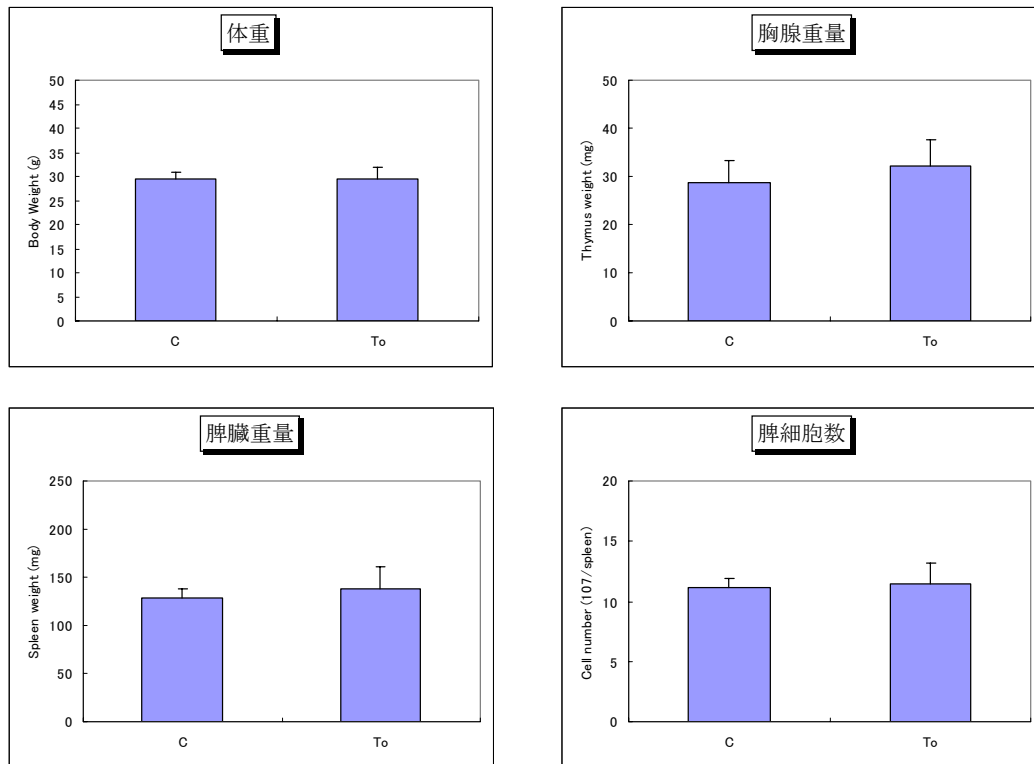


図6 12週間トルエン曝露したマウスの体重、および臓器重量の変動 (-OVA)

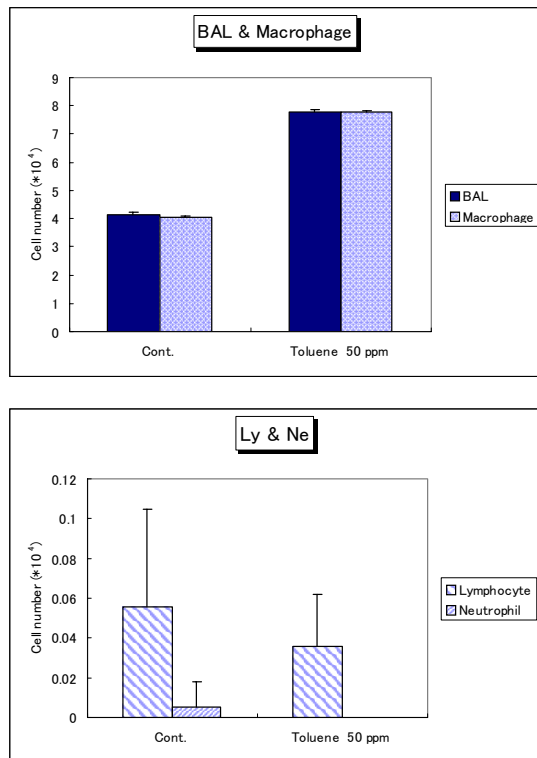


図7 12週間トルエン曝露マウスの肺胞洗浄液中の炎症性細胞の変動(-OVA)

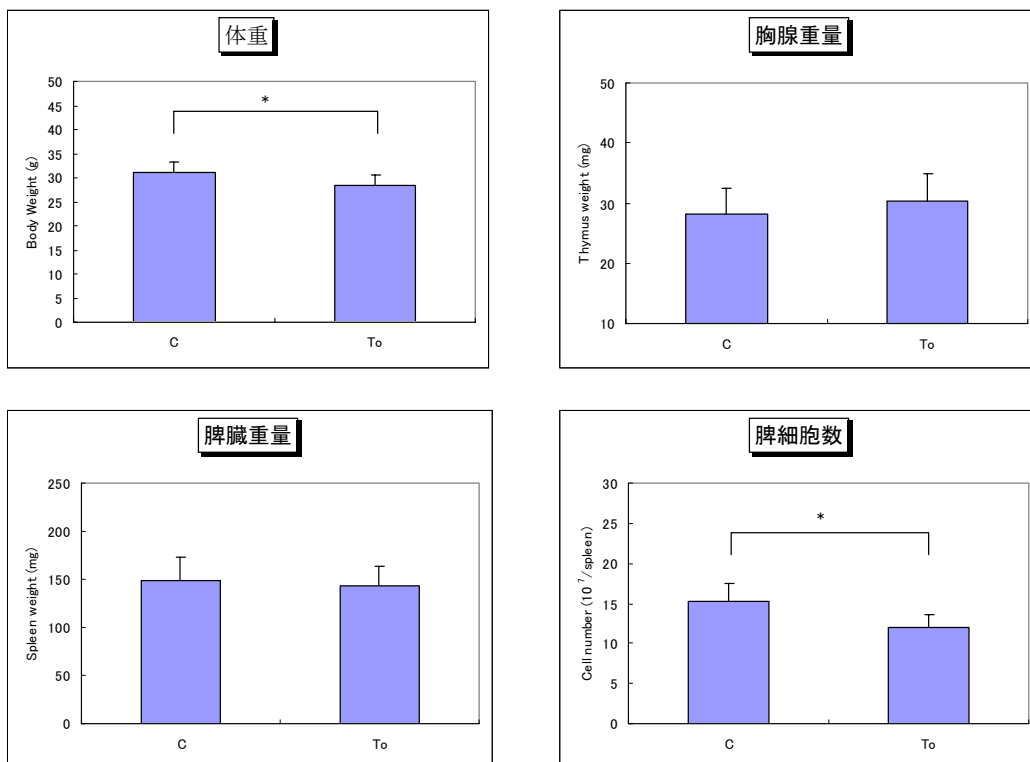


図8 12週間トルエン曝露したマウスの体重、および臓器重量の変動(+OVA)

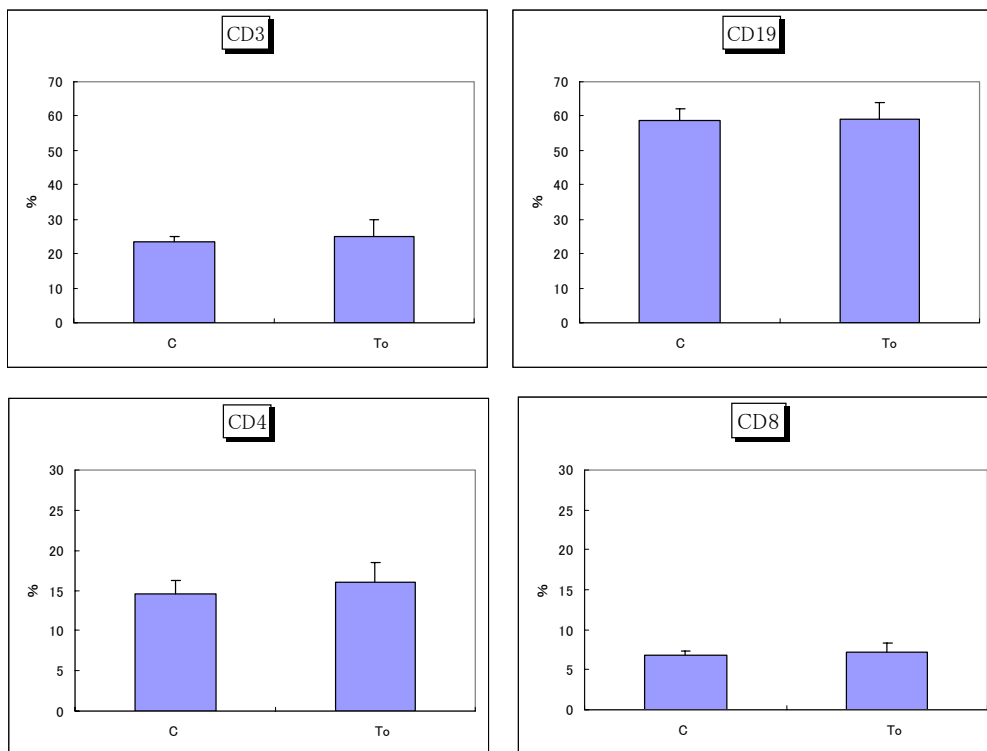


図9 トルエン曝露による脾臓でのリンパ球亜集団の変動 (+OVA)

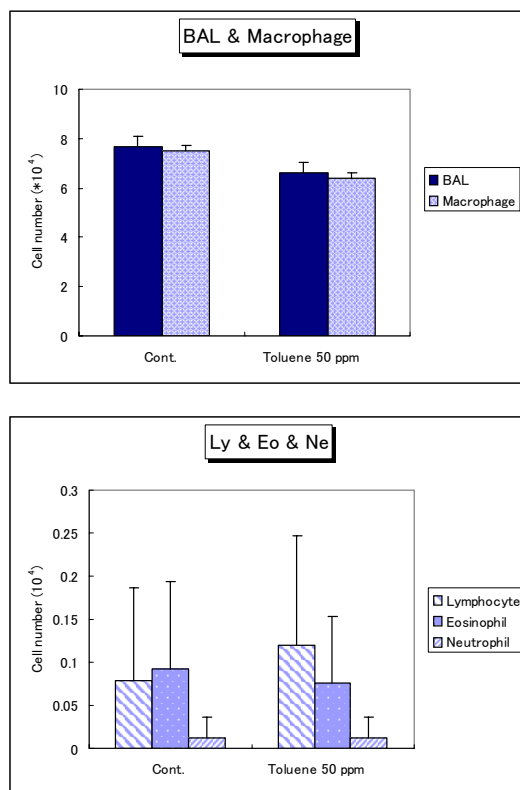


図10 12週間トルエン曝露マウスの肺胞洗浄液中の炎症性細胞の変動(+OVA)

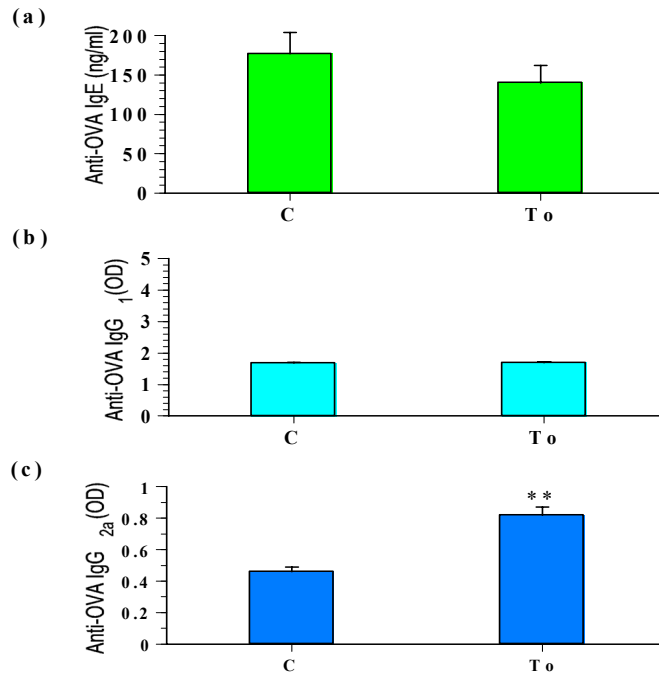


図 1.1 トルエンの 12 週間曝露による血漿中の抗原特異的抗体価の変動  
 (a) anti-OVA IgE, (b) anti-OVA IgG<sub>1</sub>, (c) anti-OVA IgG<sub>2a</sub>

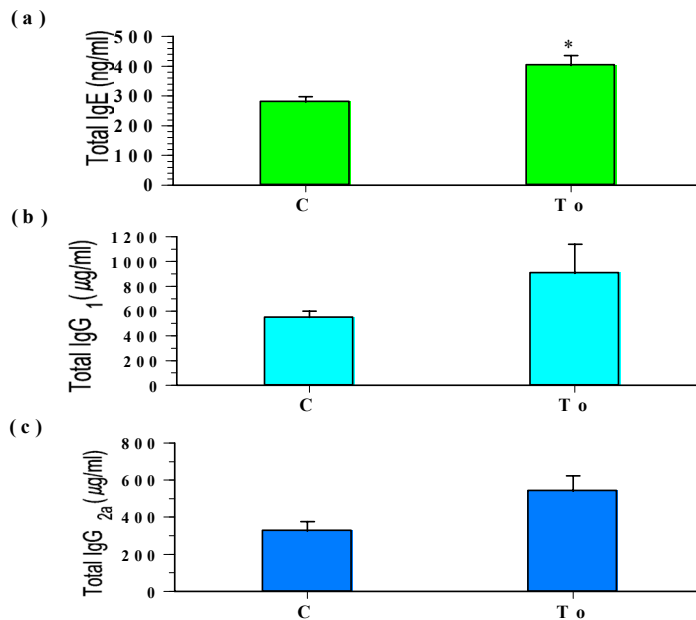


図 1.2 トルエンの 12 週間曝露による血漿中の抗体価の変動  
 (a) Total IgE, (b) Total IgG<sub>1</sub>, (c) Total IgG<sub>2a</sub>

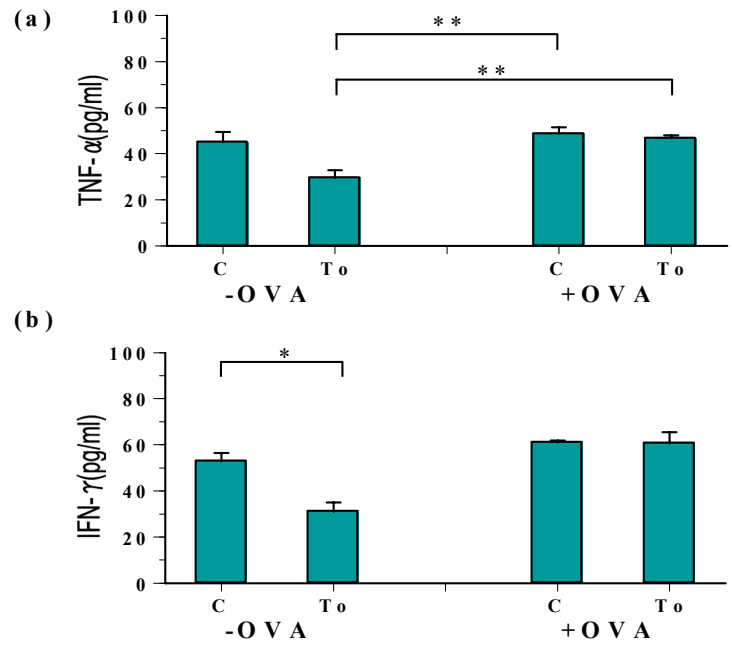


図 1 3 トルエン曝露したマウスの肺胞洗浄液中のサイトカイン産生の変化  
(a) TNF- $\alpha$ , (b) IFN- $\gamma$

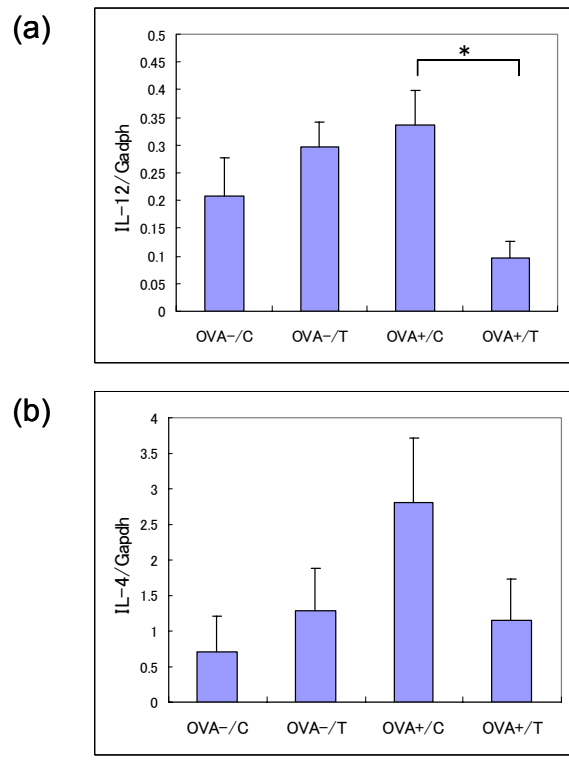


図 1 4 トルエン曝露マウスの脾臓におけるサイトカイン mRNA の発現

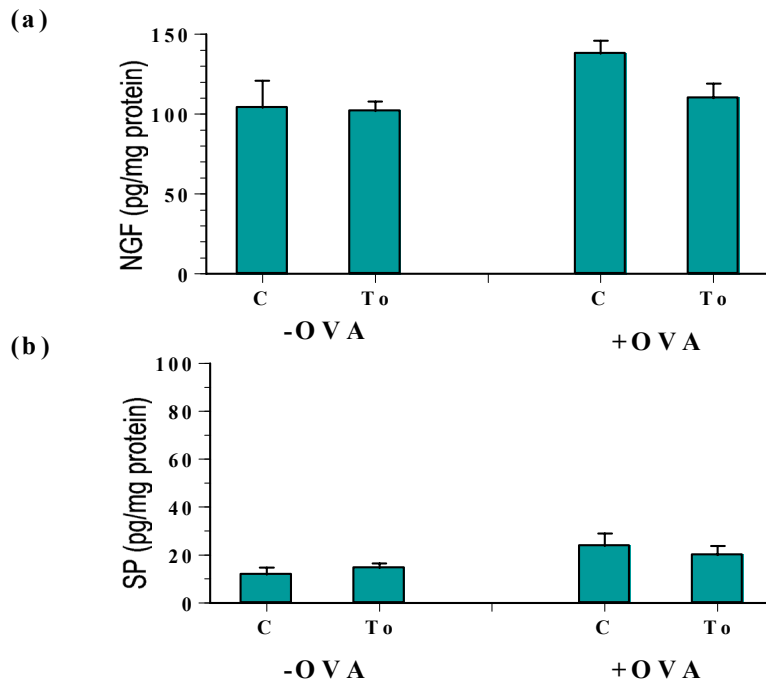


図 15 トルエン曝露したマウスの海馬における NGF (a) と substance P (b) の変動

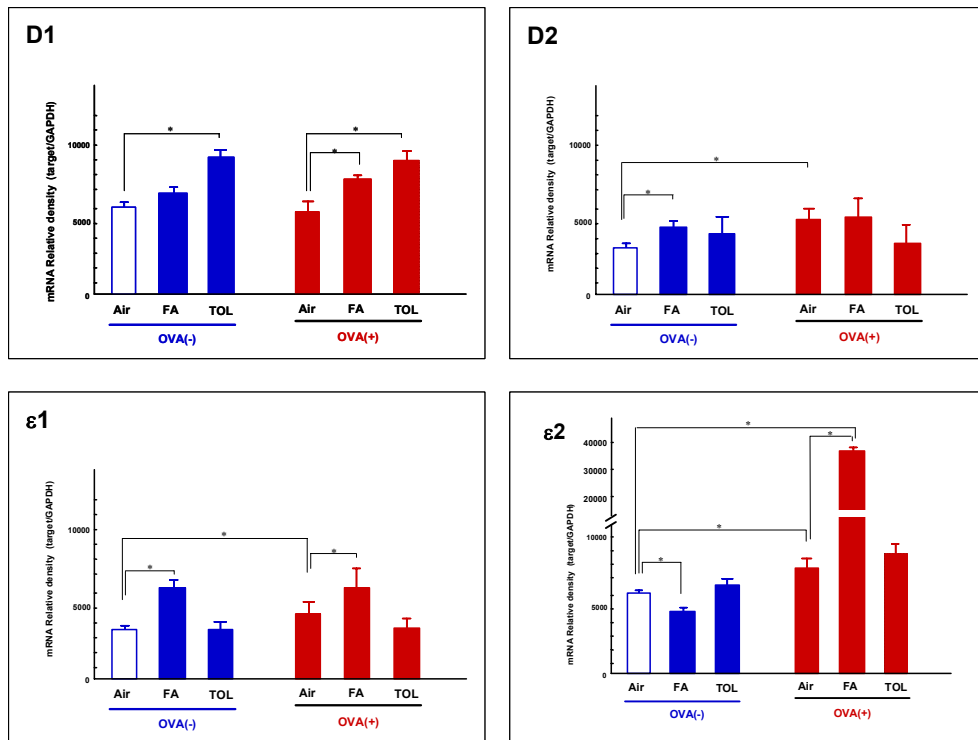


図 16 RT-PCR による神経伝達物質受容体 mRNA 発現